

(13)

銑鉄中 Si 濃度の推定

(銑鉄品質の制御に関する研究 第1報)

新日本製鉄株 生産技術研究所 ○田村健二 工博 斧勝也 工博 西田信直

1. 緒 言 高炉燃料比の低減と転炉精錬におけるスラグ量低減のために、銑鉄中の Si 濃度を低位安定に制御することが高炉操業にとって重要な課題の一つであるが、これまで、銑鉄中の Si 濃度におよぼす高炉の操業・設備条件の効果を定量的に評価する方法は報告されていない。そこで、銑鉄中への Si 移行に関する反応速度論的・熱力学的考察に基づいて、銑鉄中 Si 濃度の総括推定式を導いたので以下報告する。

2. 銑鉄中 Si 濃度の推定式 銑鉄中への Si 移行の反応として、 $\text{SiO}(g) + \text{C} = \text{Si} + \text{CO}(g)$ を考え¹⁾、逆反応を無視すると、銑鉄中の Si 濃度 [% Si] 推定式として(1)式が得られる²⁾。 $[\% \text{Si}] = k_f \cdot P_{\text{SiO}} \cdot a_M \cdot \theta_R \dots \dots (1)$
ここで、 k_f は、植谷らの実験値を用いて最小自乗法で近似すると(2)式が得られる。

$k_f = 2.116 \times 10^8 \exp(-58140/RT) \dots \dots (2)$ つぎに、 P_{SiO} は、 $\text{SiO}_2(l) + \text{C} = \text{SiO}(g) + \text{CO}(g)$ の反応において、炭素の活量を 1 とみなした場合の SiO の平衡分圧から(3)式で表わされる。

$P_{\text{SiO}} = a_{\text{SiO}_2} / \{ P_{\text{CO}} \cdot \exp(80322/T - 39.23) \} \dots \dots (3)$ ここで、 a_{SiO_2} は、 $\text{CaO}-\text{SiO}_2-\text{Al}_2\text{O}_3-\text{MgO}$ 系スラグの SiO_2 の活量 a_{SiO_2} とモル分率 N_{SiO_2} の関係を最小自乗法で 3 次多項式近似すると(4)式で表わされる。

$a_{\text{SiO}_2} = 4.364 N_{\text{SiO}_2}^3 - 0.7552 N_{\text{SiO}_2}^2 \dots \dots (4)$ また、 a_M よび θ_R は、それぞれ、(5)式および(6)式で表わされる。 $a_M = 10 a_{\text{eff}} / (\rho \cdot H_d) \dots \dots (5)$, $\theta_R = 60 H_c / v \dots \dots (6)$

ここで、 a_{eff} は馬田らの式⁴⁾、 H_d は大竹らの式⁵⁾を採用する。なお、 v は、(7)式で近似する。

$v = 53.05 r \cdot V / (\rho \cdot H_d \cdot D_H^2) \dots \dots (7)$ 以上の諸式を(1)式へ代入すると、銑鉄中の Si 濃度の総括推定式として、(8)式が得られる。

$$[\% \text{Si}] = 5.55 \times 10^{26} a_{\text{SiO}_2} \cdot H_c \cdot \exp(-109580/T) / \{ P_{\text{CO}} \cdot r^{2/3} \cdot (V/D_H^2)^{2/3} \} \dots \dots (8)$$

ところで、[% Si] が既知ならば、(8)式より、溶融滴下距離 $H_c(m)$ を理論的に推算できる。そこで、 H_c の理論値を従属変数とする重回帰分析を行なう(9)式を得た。

$$H_c = 0.4257r + 0.01537(CR + 1.4f_R) + 0.00185T_f - 0.0244T_p - 0.0234(\text{MgO}) + 25.92 \dots \dots (9)$$

図 1 は、16 基の高炉の操業データ（月平均値）に基づく、 H_c の理論値と(9)式による推定値との関係を示したものであるが、両者の間には高度の相関が認められる。

3. 結 言 (8)式および(9)式に基づいて、高炉の操業・設備条件から銑鉄中 Si 濃度を高精度で推定することができ、あわせて、銑鉄中 Si 濃度におよぼす各要因の効果を定量的に評価することができる。

4. 記 号 a_{eff} : 気液有効接触面積 (m^2/m^3)、 a_M : ガス-溶銑接触面積 (cm^2/g)、CR: コクス比 (Kg/t)、 D_H : 炉床径 (m)、 H_d : ホールドアップ量 (m^3/m^3)、 k_f : 反応速度定数 ($g/cm^2 \cdot min \cdot atm$)、 f_R : 重油比 (Kg/t)、 $P_{\text{CO}}, P_{\text{SiO}}$: CO, SiO の分圧 (atm)、 T : 温度 ($= T_p + 373$)^(k)、 T_f : フレーム温度 ($^\circ C$)、 T_p : 溶銑温度 ($^\circ C$)、 V : 内容積 (m^3)、 v : 滴下線速度 (m/h)、 (MgO) : スラグ中 MgO 濃度 (%)、 r : 出銑比 ($t/d \cdot m^3$)、 θ_R : 反応時間 (min)、 ρ : 溶銑密度 (Kg/l)。

5. 参考文献 1) 徳田、植谷、大谷: 鉄と鋼, 58(1972), 219

2) 植谷、徳田、大谷: 鉄と鋼, 58(1972), 1927 3) D.A.R.Kay and J.Taylor: J I S I, 201(1963), 67 4) 馬田、篠原、椿原: 化学工学,

27(1963), 978 5) 大竹、岡田: 化学工学, 17(1953), 176

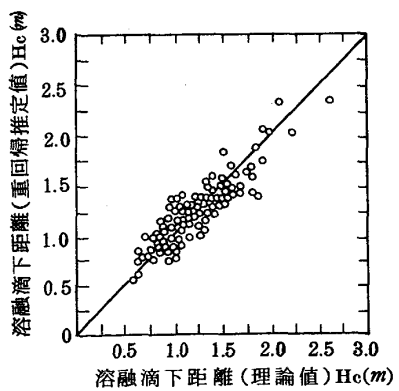


図 1 溶融滴下距離の理論値と重回帰推定値の関係
(重相関係数 0.877)